

粘弹性流体의 法線應力 測定에 関한 研究

金 春 植

A Study on the Measurement of the Normal Stress of the Viscoelastic Fluids

Kim Chunsik

目 次	
第1章 序 論	第3章 靜壓孔洞 示壓에 關한 影響
1・1 本研究의 目的	3・1 實驗方法 及 原理
1・2 從來의 研究	3・2 實驗裝置
第2章 法線應力의 測定	3・3 實驗結果 及 考察
2・1 使用溶液	第4章 考察及 結論
2・2 測定原理	4・1 考察
2・3 實驗裝置	4・2 結論
2・4 實驗方法 及 原理	參考文獻

A Study on the Measurement of the Static Pressure of the Viscoelastic Fluids.

Viscoelastic fluids have many properties that can not be observed in Newtonian fluids. Among these properties, the non-Newtonian viscosity, the normal stress effect and the measurement of the static pressure particularly important from an engineering view point.

In measuring the static pressure on a fluid-immersed surface, it is convenient to puncture on the surface a small hole leading to a larger cavity. With viscoelastic fluids exhibiting normal stress effect, however, it has been shown experimentally that a systematic error exists in measuring the static pressure by means of the small hole.

In this paper, in order to ascertain the relation between the normal stress and these errors, a normal stress is measured using a new device, which is designed to measure by means of the thrust of cylindrical jet formed at the exit of the horizontal capillary tubes. From this point of view, this paper deals with these errors based on kinematic considerations. The experiments to measure these errors are performed by a parallel plane channel with the steady two-dimensional shear flow of viscoelastic fluids.

(2)

韓國海洋大學 大學院 論文集 第 1 輯

Results of the experiment are summarized as follows:

- (1) In the measurement of the normal stress by the new device, results are in good agreement in case of a little dense polymer solutions, except in case of dilute polymer solutions of ppm order.
- (2) The errors in measuring the static pressure increase with density of polymer solutions and shear rates.

使用記號

a : 定數	T_{ji} : 應力 Tensor
b : 活路의 幅($=50\text{mm}$)	T_M : 反力
c : 定數	T_{rr}, T_{xx} : 法線應力
D : 管直徑	(u, v, w) : x, y, z 方向의 速度成分
f : 表面張力에 依한 힘	v : 管内流速
g : 重力加速度	V : 平均流速
h : 物의 흐름의 두께	α : 기울기
h_1 : Vinyl Film의 두께	β : 기울기
h_2 : 粘彈性流體의 두께	γ : 剪斷速度
H : Channel의 두께($=1.0\text{mm}$)	Γ : 擬塑性剪斷速度
k : 기울기	η : 粘度
K : 定數	ν : 動粘度
l, L : 距離	ρ : 密度
m : 擬塑性粘度	σ : 表面張力
m_0 : 係數	τ_{rz}, τ_{xy} : 剪斷應力
ΔM : Scale의 눈금差	$\tau_{xx}, \tau_{yy}, \tau_{zz} \quad \tau_{rr}, \tau_{zz}, \tau_{00}$: 偏差法線應力
n : 幕指數	τ_w : 壁面剪斷應力($=(\tau_{rz})_w = (\tau_{rz})_{r=R}$)
P : 等方性壓力	(添字記號)
$-\bar{p}$: 法線應力의 平均值	T : 全量
ΔP : 靜壓孔에 依한 示壓誤差	V : 粘彈性流體
$\Delta P / \Delta L$: 壓力勾配	W : 水
q : 기울기	w : 流路壁
Q : 體積流量	
R : 管半徑	
R_c^* : 一般 Reynold數	
T : 運動量	

第1章 序 論

1·1 本研究의 目的

直來, 流體의 學域은 그扭曲에 依する 流體이 苦, 空氣, 水等을 除了. 所謂 Newton流體가 大部分이었으나, 最近, 利學技術이 進歩한 關係上, 非Newton流體는 特別重要 例如, 高分子溶液의 粘彈性를 研究하는 Newton流體에 依하는 理論은 高分子溶液의 粘彈性的 性質 以外에 張性的 性質을 同時에 研究하는 Newton流體에 依하는 理論은 特異發現 原因이 되고 有다. 今法線應力測定法은 Weissenberg, 如果, 速率緩和, Parus效果(또는 Merrington效果) 및 不安定現象(如反轉運動分子溶液), 氣流狀態及管內壁 粗糙 關係에 當摩擦損失에 同시, 流速也是 溶媒毛管曲率에 依하여 當摩擦損失에 同시, 著者는減少的替 Toms效果 關係, 有時 Toms效果는 大體의 球形 周期者에 依하여 取得되는 關係이다.

以上, 這些點裏當現象이 特別이 有時 難以 認識, 且 溶液의 物質定數 测定이 困難한 現象은 特別이 化學的, 機械的로 由來 關係에 依する 關係, 實驗의 及 理論의 爲民是一統見解外 不能解의 現象으로 有著 狀態이다. 稀薄高分子溶液의 粘彈性的 特性中에서一般的의 有且非Newton流體에 對する 流動測定法, 當摩擦測定法各濃厚溶液과 稀薄溶液을 莫論하고 此較的 簡單한 亂流測定法는 大概 確實可信하나 並非 全般可信, 反而에 法線應力差量 测定은 法線應力測定法이 亂流測定法에 依하여 表現의 차이가 有豐厚 하니라, 且此 現象 實驗의 且其 求整 程度와 程度와 假定의 必要解부 互有 關係은 問題点多이 有且 生覺된다.

本章의 流體의 靜壓測定과 流體의 實驗에 有여서 가장 基礎의 일 事이면, 從來의 Newton流體의 境遇는 主로 靜壓孔에 依託して 测定法이 有되며, 靜壓孔에 依託 靜壓測定法은 簡單한 方法으로서 Newton流體에 對하여 靜壓孔에 依託 示壓과 真의 靜壓과의 誤差가 很小함이 實驗의 且其 確認되어 有其 關係, 從來, 靜壓孔에 依託 靜壓을 测定하는 境遇가 많았다. 그러나 粘彈性流體의 境遇는 靜壓孔에 依託 测定誤差가 Newton流體의 境遇와 같이 無視할 수 있음 程度인가는 아울러 不明하며, 但其의 實驗의 質은 必要 確認되어 有其 關係 問題가 生覺된다, 最近에는 粘彈性流體에 對하여, 靜壓孔에 依託 示壓誤差는 無視할 수 있음 程度로 有다는 報告가 發表되었으며, 且 粘彈性流體에 有여서는, 靜壓孔을 通해서 测定한 靜壓値가 真의 靜壓値보다도 很은 差이 有나타나고 有나라고 發表되었다.

本研究에 有는 從來 测定이 有得의 困難한 原因은 法線應力を, 細管으로부터 流出되는 Jet가 細管에 依託한 方을 利用藉て 测定한 事 有는 實驗方法 및 實驗裝置를 開發해서, 그것에 依託 有する 溶液의 法線應力を 测定하는 同時に, 簡單한 Channel을 使用하여 靜壓孔의 影響을 考察함으로써 粘彈性流體가 靜壓孔에 示壓에 미치는 影響을 細明코자 하는 바이다.

1·2 從來의 研究

Kaye 等은 各種 Rheogoniometer나 流動複屈折法으로 法線應力差量 测定하여, 그들을 比較検討한 上으로서 粘彈性流體에 對해서는 標孔에 依託 靜壓의 测定値가 真의 靜壓보다 낮은 署을 有其 關係를 發表하였다. 그들에 依하면 標孔에 依託 测定의 示壓誤差 ΔP dyne/cm²는 다음 식으로 有其 關係.

$$\Delta P = 3.07\tau_w + 414, \quad 500 > \tau_w > 200 (\text{dyne/cm}^2)$$

但 τ_w 는 壁面剪斷應力值.

또 Prichard는 壁孔의 形狀이나 깊이 및 速度의 相違가 示壓誤差에 미치는 影響을 次元解析的으로 考察하고, 한편으로는 實驗的으로 丹錐～平板型 Rheogoniometer로써 그의 影響을 考察한結果 壁孔의 幾何學的 形狀의 相違는 큰 影響을 주지 않는다고 結論하였다.

Tanner와 Pipkin은 開水路에서 直徑 1/32in. 로부터 1/4in. 的 壁孔 및 1/8in. 的 throat에 對하여 實驗한 結果 示壓誤差는 壁孔의 크기나 壁孔과 throat의 相違에 따른 影響을 거의 받지 않으며, 그값은 負(-)이고, 絶對值는 第一法線應力差의 約 25%라고 報告하였다. 그 위에 그들은 흐름이 壁孔의 中心軸에 對해서 對稱이라 假定해서, 流體의 Model로서 2次元流體를 擇해서 理論解析을 하여, 實驗值와 거의一致하는 結果를 얻었다.

Higashitani等은 上記의 解析方法을 擴張해서 一般的으로 $\tau_{xx} - \tau_{yy} \propto \tau_{yx}$, $\tau_{yy} - \tau_{zz} \propto \tau_{yz}$ 으로 되는 流體에 對해, 壁孔에 依한 示壓誤差 ΔP 는 下式으로 주어짐을 報告하였다.

$$\Delta P = -\frac{1}{3} \left(\frac{\tau_{xx} - \tau_{yy}}{\alpha} - \frac{\tau_{yy} - \tau_{zz}}{\beta} \right)$$

여기에서 $\tau_{xx} - \tau_{yy}$, $\tau_{yy} - \tau_{zz}$, τ_{yx} 는 각각 第1, 第2 法線應力差 및 剪斷應力임.

第2章 法線應力의 測定

2·1 使用溶液

本實驗에서 使用된 流體는 Cellosize Hydroxyethyl Cellulose (HEC WP-4400)와 Polyethylene Oxide(PEO-18N) 및 Polyacrylamide(Separan NP-10)의 各 水溶液이다. 水溶液의 比重은 거의 물과 같으며, 溶解方法에 있어서 HEC의 境遇, 溶器에 채운 水道水에 HEC의 粉末을 徐徐히 混入해서 充分히攪拌하면서 溶解시킨다. HEC의 溶液은 數回의 實驗에 使用可能하며 相違한 溶解方法에 對해서도 거의 差異가 없으나 長時間 放置하여 두면 水中の Bacteria等에 依한 腐敗로 因하여 粘度가 低下된다. 이 溶液에 依한 實驗은 溶解後 24時間이 經過한 다음부터 2週間 使用할 수 있었다.

PEO의 境遇는, 100ppm의 安定劑를 넣은 水道水에 PEO粉末을 撒布하여 24時間 程度後에 徐徐히攪拌한다. PEO溶液은 強勁剪斷應力を 받으면 高分子鎖가 切斷되어 永久의으로劣化되므로 PEO溶液製造時は 아주 徐徐히攪拌해야 된다. 또한 PEO容器 等으로 부터 나타나는 鐵Ion에 依해 그의 特性이 變化하므로 製造된 溶液은 4日 以內에 實驗을 完了하도록 하였다.

Separan의 境遇는 물에 對한 溶解性이 大端히 좋아서 溶液 製造가 容易하다. Separan은 過激히攪拌하거나 大端히 큰 剪斷應力を 加하면 Polymer結合이 切斷되어 粘度가 低下하는 境遇가 있으나 普通의 實驗에서는 粘度의劣化가 發生하지 않는다. 또한 거의 非腐蝕性이므로 取扱이 容易한 溶液이다.

따라서 本實驗에서는 主로 Separan溶液을 使用하였다. 그러나 法線應力의 測定實驗에 있어서는 他 溶液의 狀態를 參考로 하기 위하여 HEC 및 PEC 溶液으로도 實驗을 行하였다.

2·2 測定原理

그림(2-1)과 같이 Reservoir에 取付된 細管(半徑R)으로부터 粘彈性流體가 Jet로 噴出되는 境遇

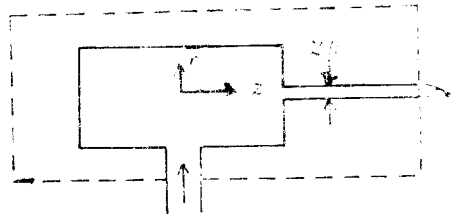


그림 (2-1)

를考慮한다. 丹筒座標系(r, θ, z)를 그림(2-1)과 같이 정하고 点線과 같은 檢查面을 取해서 z 方向의 運動量의 平衡을 考慮한다. 그때의 流出Jet는 管出口에서 完全히 發達된 速度分布의 形態로 된다고 假定한다. 여기서 R 는 管半徑, v 는 管內流速, T_{zz} 는 z 方向의 法線應力, f 는 表面張力에 依存한 힘이다.

單位時間에 檢查面으로부터의 運動量 :

$$\int_0^R (\rho v 2\pi r \cdot dr) v$$

檢查面(管出口)에서 流體가 받는 힘;

$$\int_0^R T_{zz} 2\pi r \cdot dr + f$$

細管에 받는 힘; $-T_M$

以上을 運動量의 法則에 適用시키면

$$-T_M = -\int_0^R (\rho v 2\pi r \cdot dr) \cdot v + \int_0^R T_{zz} 2\pi r \cdot dr + f \quad \dots \dots \dots (2-1)$$

따라서,

$$\int_0^R T_{zz} 2\pi r \cdot dr = T - T_M - f \quad \dots \dots \dots (2-1')$$

$$\text{但, } T = 2\pi\rho \int_0^R v^2 r \cdot dr \quad \dots \dots \dots (2-2)$$

또한 式(2-1)'의 積分變數 r 를 $r = \frac{\tau_{rz}}{\tau_w} R$ 의 關係로부터 剪斷應力 τ_{rz} (τ_w 는 壁面剪斷應力)로
變換해서 兩邊을 τ_w 로서 微分하면 다음式을 얻는다.

但, 添字 W 는 壁面에 있어서의 値을 表示한다.

$$\begin{aligned} \frac{2\pi R^2}{\tau_w^2} \int_0^{\tau_w} T_{zz} \cdot \tau_{rz} \cdot d\tau_{rz} &= T - T_M - f \\ \therefore (T_{zz})_w &= \frac{1}{2\pi R^2} \left[2(T - T_M - f) + \tau_w \frac{d(T - T_M - f)}{d\tau_w} \right] \end{aligned} \quad \dots \dots \dots (2-3)$$

單純剪斷流에 對하여 乘則

$$\tau_{rz} = m \frac{dv}{dr} \left| \frac{dv}{dr} \right|^{n-1} \quad \dots \dots \dots (2-4)$$



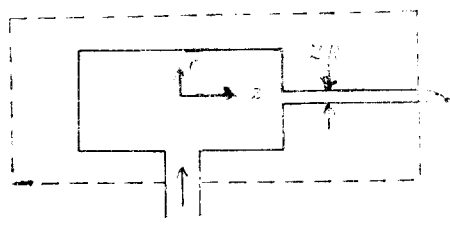


그림 (2-1)

를 考慮한다. 丹箇座標系(r, θ, z)를 그림(2-1)과 같이 定하고 点線과 같은 檢查面을 取해서 z 方向의 運動量의 平衡을 考慮한다. 그때의 流出Jet는 管出口에서 完全히 發達된 速度分布의 形態로 된다고 假定한다. 여기서 R 는 管半徑, v 는 管內流速, T_{zz} 는 z 方向의 法線應力, f 는 表面張力에 依る 힘이다.

單位時間에 檢查面으로부터의 運動量 :

$$\int_0^R (\rho v 2\pi r \cdot dr) v$$

檢査面上(管出口)에서 流體가 밟는 힘;

$$\int_0^R T_{zz} 2\pi r \cdot dr + f$$

細管에 밟는 힘; $-T_M$

以上을 運動量의 法則에 適用시키면

$$-T_M = -\int_0^R (\rho v 2\pi r \cdot dr) \cdot v + \int_0^R T_{zz} 2\pi r \cdot dr + f \quad \dots\dots\dots\dots\dots (2-1)$$

따라서,

$$\int_0^R T_{zz} 2\pi r \cdot dr = T - T_M - f \quad \dots\dots\dots\dots\dots (2-1')$$

$$\text{但, } T = 2\pi \rho \int_0^R v^2 r \cdot dr \quad \dots\dots\dots\dots\dots (2-2)$$

또한 式(2-1)'의 積分變數 r 를 $r = \frac{\tau_{rz}}{\tau_w} R$ 의 關係로부터 剪斷應力 τ_{rz} (τ_w 는 壁面剪斷應力)로 變換해서 兩邊을 τ_w 로서 微分하면 다음式을 얻는다.⁴⁵

但, 添字: W 는 壁面에 있어서의 値을 表示한다.

$$\begin{aligned} \frac{2\pi R^2}{\tau_w^2} \int_0^{\tau_w} T_{zz} \cdot \tau_{rz} \cdot d\tau_{rz} &= T - T_M - f \\ \therefore (T_{zz})_w &= \frac{1}{2\pi R^2} \left[2(T - T_M - f) + \tau_w \frac{d(T - T_M - f)}{d\tau_w} \right] \end{aligned} \quad \dots\dots\dots\dots\dots (2-3)$$

單純剪斷流에 對하여 署乘則

$$\tau_{rz} = m \frac{dv}{dr} \left| \frac{dv}{dr} \right|^{n-1} \quad \dots\dots\dots\dots\dots (2-4)$$

를 適用하면

$$\tau_w = m \left(\frac{3n+1}{4n} \Gamma \right)^n, \quad \Gamma = \frac{8V}{D} \quad \dots\dots\dots\dots\dots (2-5)$$

가 된다.

또한 式(2-2)와 式(2-5)로부터 T 는

$$T = \rho \pi \frac{3n+1}{2n+1} V^2 \frac{D^2}{4} \quad \dots\dots\dots\dots\dots (2-6)$$

로 된다. 但 D 는 管直徑, V 는 平均流速임. 式(2-5)를 式(2-3)에 代入하면 $(T_{zz})_w$ 는 式(2-7)로 表示된다.

(6)

韓國海洋大學 大學院 論文集 第1輯

$$(T_{zz})_w = \frac{1}{2\pi R^2} \left[2(T - T_M - f) + \frac{1}{n} (T - T_M - f) \frac{d \log(T - T_M - f)}{d \log r} \right] \dots (2-7)$$

을 얻는다. 따라서 流量을 測定하면 式(2-6)으로 부터 T 를 求할 수 있고 또한 反力 T_M 을 測定하면 式(2-7)에 依해서 $(T_{zz})_w$ 가 計算된다. 이것을 第1法線應力差 $(\tau_{zz} - \tau_{rr})_w$ 와 聯關시키기 위해서는 다음과 같이 r 方向의 運動方程式을 考慮할 必要가 있다. 즉 法線應力 T_{zz} 를 等方成分과 偏差成分으로 分離하면

$$(T_{zz})_w = (-p + \tau_{zz})_w \dots \dots \dots (2-8)$$

이 된다. 管出口에서 完全히 發達된 速度成分의 形態라고 假定하고 있으므로 管出口에 있어서 r 方向의 運動方程式은 式(2-9)와 같이 된다.

$$0 = -\frac{\partial p}{\partial r} + \frac{\partial \tau_{rr}}{\partial r} + \frac{\tau_{rr} - \tau_{\theta\theta}}{r} \dots \dots \dots (2-9)$$

이것을 $0 \sim R$ 까지 積分하면

$$P_{(R)} = P_{(0)} + (\tau_{rr})_w + \int_0^R \frac{\tau_{rr} - \tau_{\theta\theta}}{r} \cdot dr \dots \dots \dots (2-10)$$

이 된다. 한편 管中心에서 大氣壓과 같다고 假定하면

$$P_{(0)} = 0 \dots \dots \dots (2-11)$$

또한 Weissenberg의 假定을 適用하면

$$\tau_{rr} - \tau_{\theta\theta} = 0 \dots \dots \dots (2-12)$$

가 된다. 따라서 式(2-10)은

$$P_{(R)} = P_w = (\tau_{rr})_w \dots \dots \dots (2-13)$$

로 된다. 따라서 式(2-8)과 式(2-13)으로 부터,

$$(T_{zz})_w = (\tau_{zz} - \tau_{rr})_w \dots \dots \dots (2-14)$$

가 되어 $(R_{zz})_w$ 는 第一法線應力差와 같게 된다.

2·3 實驗裝置

裝置全體의 略圖를 그림(2-2)에, Jet噴出裝置를 그림(2-3) 및 (2-4)에 表示하였으며, 그림(2-5) 및 (2-6)은 그들의 사진을 나타내고 있다. 裝置의 原理는 Piano線의 비틀림角을 測定하여 Jet의 反力を 求할 수 있도록 한 것이다. 즉, 上下 2.96m 사이에 張張히 담겨진 Piano線(徑1.2mm인 Stainless)製品의 途中에 Jet噴出裝置가, 그의 上下에 取付된 Chuck에 依해서, Piano線上에 設置되어 있다. 噴出裝置로 부터는 內徑 3.3mm의 4個의 黃銅管이 半徑方向에 設置되어 그의 先端에는 Stainless製의 噴出管이 그에 直角으로 取付되어 있다. 또한 黃銅管은 徑이 다른 噴出管으로 交換할 수 있게 하였으며, 그림(2-4)에 5種類의 噴出管의 管徑 및 管長을 表示하였다. 溶液은 供給Tank에 貯藏된 後 Reservoir에 移送되어 그곳에서 壓力이 調整된 다음, 밑으로부터 Vinyl管을 通해서 噴出裝置에 供給된다. 噴出裝置에 供給된 溶液이 4方向으로 向해 있는 4個의 噴出管으로 부터 Jet가 되어 噴出되면, 그의 反力에 相當하게 Piano線이 비틀린다. 그 비틀림角은 Piano線上에 取付된 小鏡에 비치는 Scale의 눈금을 望遠鏡으로 읽음으로써 알 수가 있다. 또한 流量은 Jet의 下方에 位置한 容器에 依해서 重量法으로 測定된다.

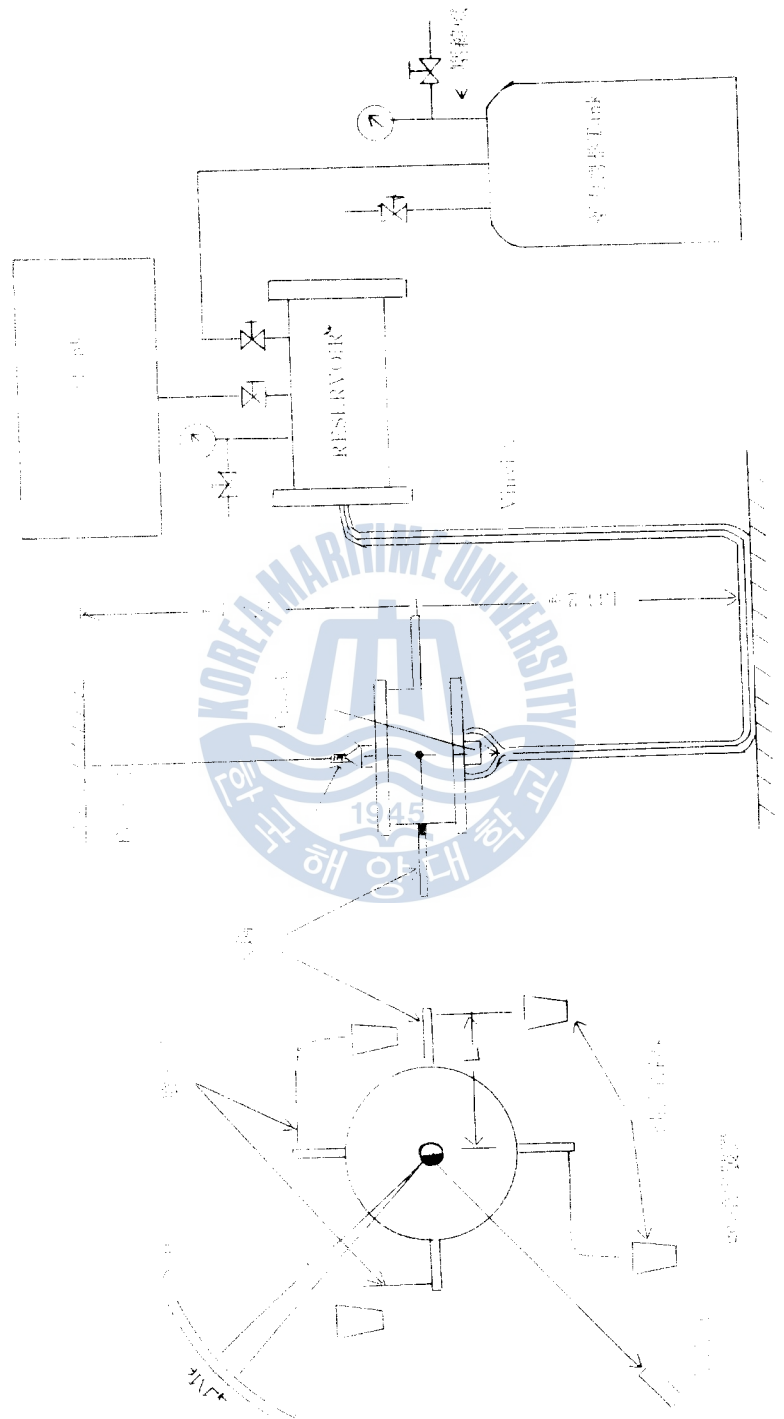
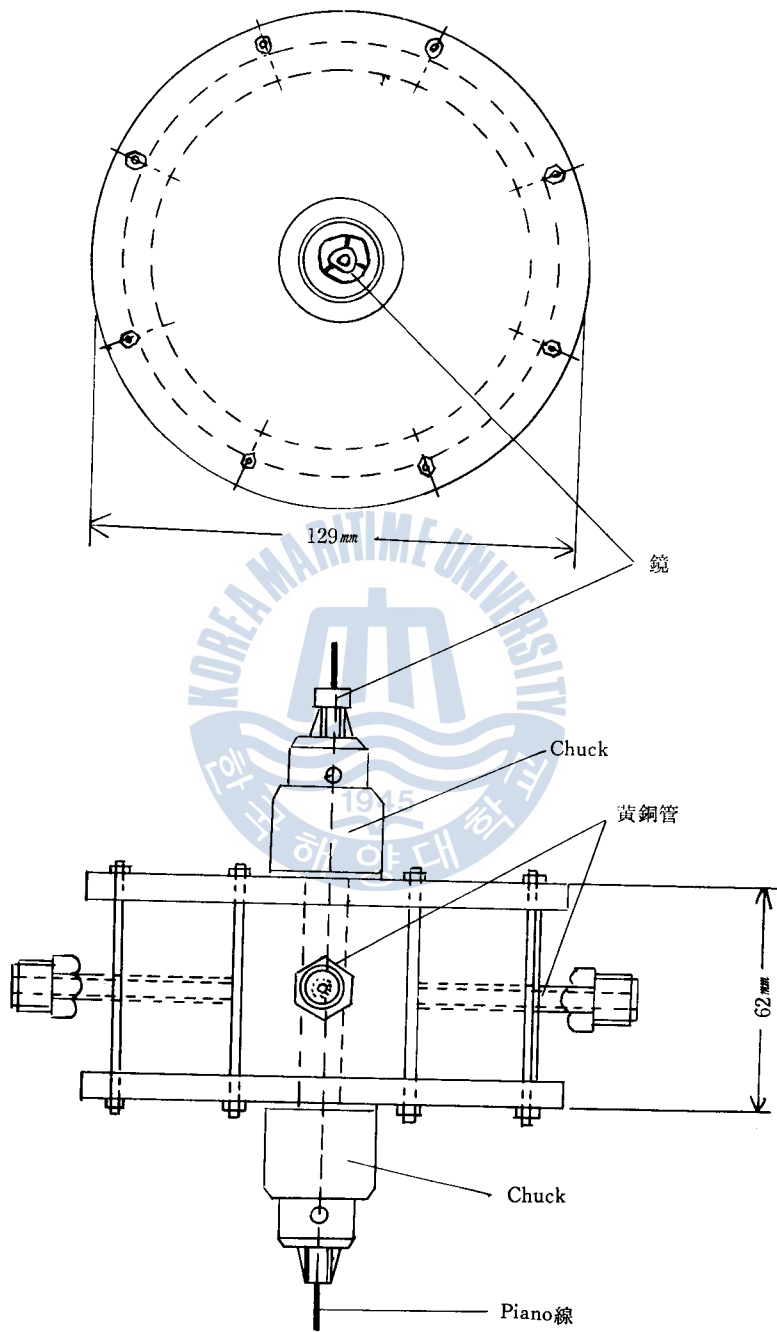
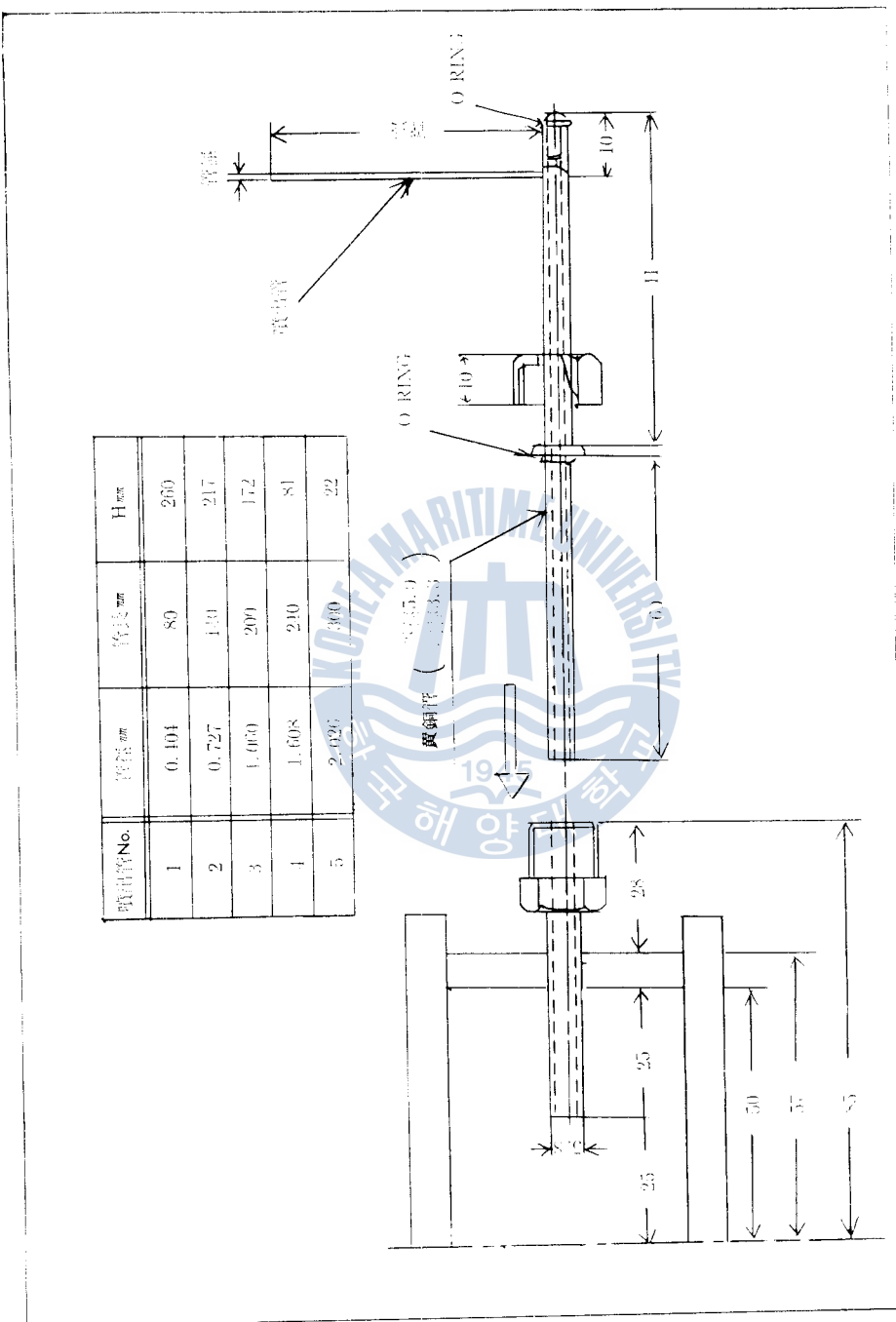


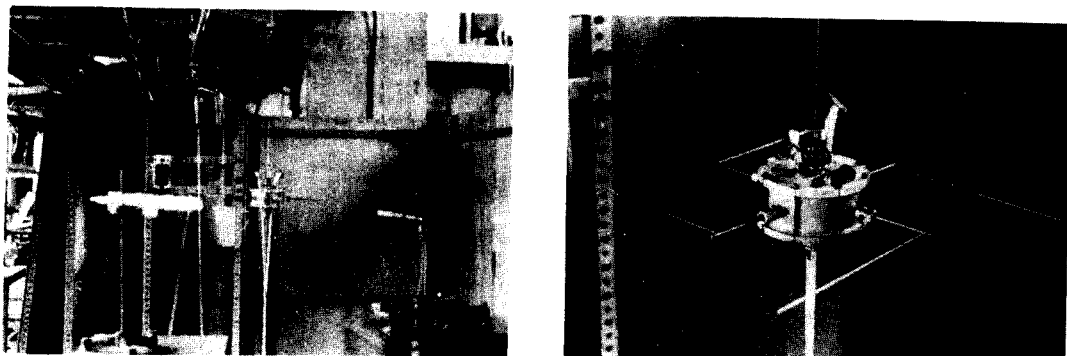
그림 2-2-98 第2章 第1節



그림(2-3) JET噴出装置



圖(2-4) 噴出管詳細圖



그림(2-5) 法線應力測定의 全裝置

그림(2-6) Jet噴出裝置

2·4 實驗方法 及 結果

Piano線의 비틀림角度 $\theta = \Delta M/l$ 와 Jet反力에 依한 Torque $T_M \cdot l$ 은 θ 가 微小한 範圍內에서 比例한다고 看做할 수 있으므로

가 成立한다. 但 ΔM 은 Scale눈금의 差이며 l 는 小鏡으로부터 Scale까지의 距離, L 는 Piano線으로부터 噴出管까지의 距離이고, K 는 比例定數인 데 Piano線의 剛性率에 依하여 決定된다.

一方, 물의 境遇에는 $(T_{zz})_w=0$ 이고 指數 n 은 1인 故로 式(2-1)'로부터 $T_M=T-f$ (2-16)

이므로, 式(2-6)으로 부터

$$T=\rho\pi\frac{4}{3}V^2\frac{D^2}{4}=\frac{16\rho}{3\pi}\cdot\frac{Q^2}{D^2} \quad \dots \quad (2-17)$$

이 된다. 式(2-15), (2-16) 및 (2-17)로부터

$$\Delta M=K\cdot l\cdot L\cdot T_M=K\cdot l\cdot L\left(\frac{16\rho}{3\pi}\cdot\frac{Q^2}{D^2}-f\right)=m_o Q^2-\frac{3\pi D^2}{16\rho}\cdot m_o f \quad \dots \quad (2-18)$$

$$\text{但}, \quad m_o=K\cdot l\cdot L\frac{16\rho}{3\pi D^2}$$

로 된다. 물의 境遇 ΔM 와 Q^2 間에는 線形關係가 成立된다. 나아가 물의 實驗值로부터 $\Delta M-Q^2$ 의 Graph를 그리면 그의 值을 기울기는 式(2-18)의 m_o 값이 된다. 그림(2-7)~그림(2-11)은 各種境遇에 있어서 5種類의 各噴出管에 對應する ΔM 와 Q^2 의 實驗值를 表示하고 有能하며, 式(2-18)의 關係와 一致함을 나타내고 있다. m_o 의 值은 本實驗에서 與 各溶液의 比重의 比例關係의 같은 때는 溶液種類와는 無關한 裝置定數이다. m_o 의 值을 알면 그림(2-7)~그림(2-11)의 切片 $\frac{3\pi D^2}{16\rho}\cdot m_o f$ 를 算出으로서 表面張力에 依한 値 f 를 算出할 수 있다.

그림(2-12)는 그와 같이 求한 f 를 縱軸에, 管徑 D 를 橫軸에 取하여 만든 Graph이다. 此處에 서는 σ 의 1이고 $f \propto D^2$ 임을 알 수 있으니, 切片으로부터 比例定數를 求하면

$$f=0.683\pi D\sigma \quad \dots \quad (2-19)$$

가 된다. 但 σ 는 表面張力으로서 本實驗에서 使用한 水道水에 有能하는 $\sigma=72.5 \text{ dyne/cm}$ (Jolly의 表面張力計로 測定)이다. 從來 表面張力의 補正에는 此外까지 討論議가 有能으며, $f=\frac{\pi D}{2}\sigma$ 또는 $\pi D\sigma$ 라고 하여 有能이나 本實驗에 依하면 이들 中間值로 測定되며,

한편, 粘彈性流體의 反力 T_M 은 式(2-18)로 有能

$$T_M=\frac{\Delta M}{K\cdot l\cdot L}=\frac{16\rho}{3\pi D^2}\cdot\frac{\Delta M}{m_o} \quad \dots \quad (2-20)$$

이 되므로 m_o 를 算出하면 T_M 이 求하여지며, 式(2-7)로부터 $(T_{zz})_w$ 가 求하여진다.

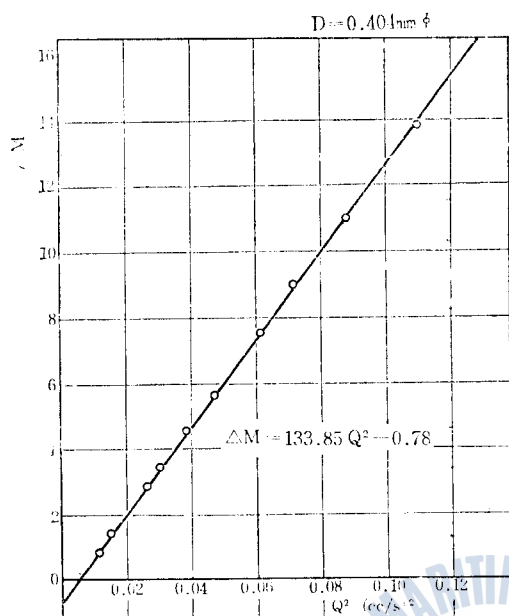
그림(2-13)~그림(2-22)는 法線應力 $(T_{zz})_w$ 對剪斷速度 $(T_w$ 및 r_w)을 兩對數Graph로 表示한 것이다. 그림(2-10)~그림(2-22)에 關해서 考察하여 보면, 各濃度에 對應하는 直線에 測定點은 噴出管의 管徑에 無關하게 一直線上에 有能하고 看做되어서 直線을 有能하다. 但, 此는 Graph로 有能

$$(T_{zz})_w \propto r_w^k, \quad (k>0) \quad \dots \quad (2-21)$$

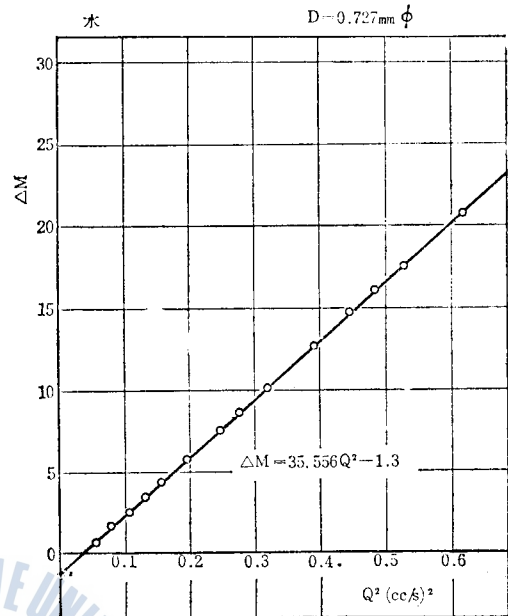
이 되는 것을 알 수 있다. 各直線으로부터 그의 値을 k 의 值은 表(2-1)과 같이 算出할 수 있다.

溶液	浓度	$k: [(T_{zz})_w \propto r_w^k]$
Separan	0.05%	0.909
Separan	0.1%	0.906
Separan	0.5%	0.911

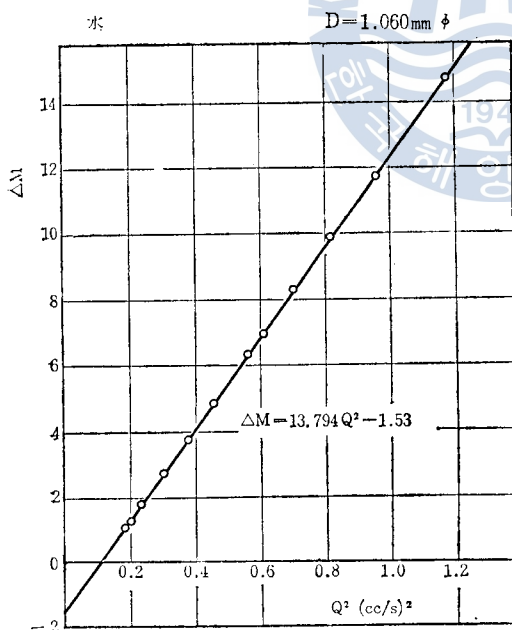
表(2-1)



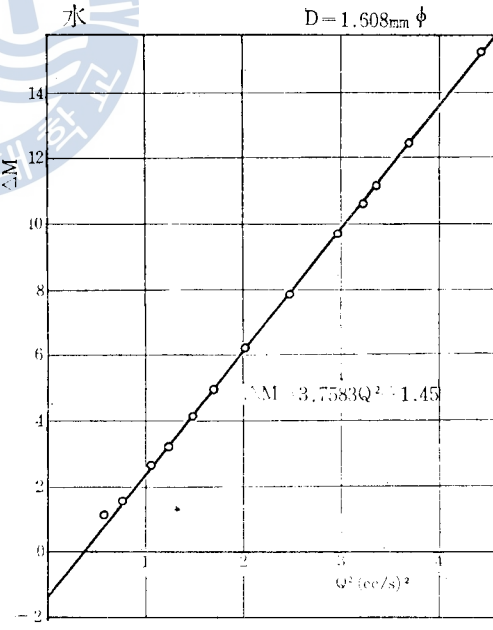
그림(2-7)



그림(2-8)



그림(2-9)



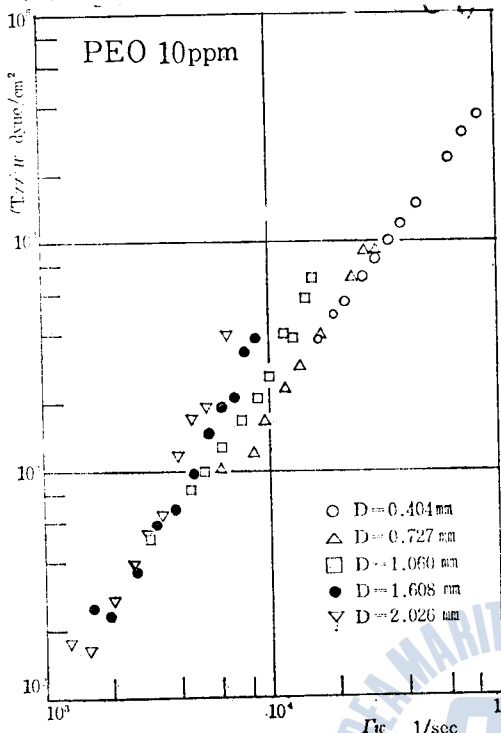
그림(2-10)

한국해양대학교

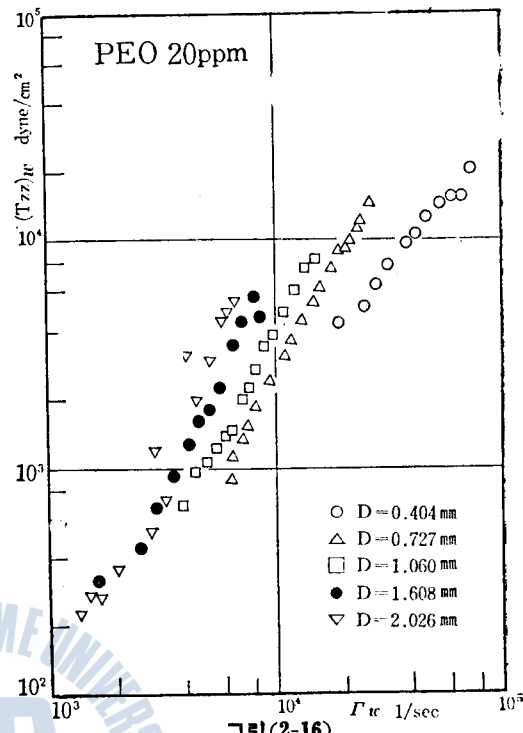
100



(14)



그림(2-15)



그림(2-16)

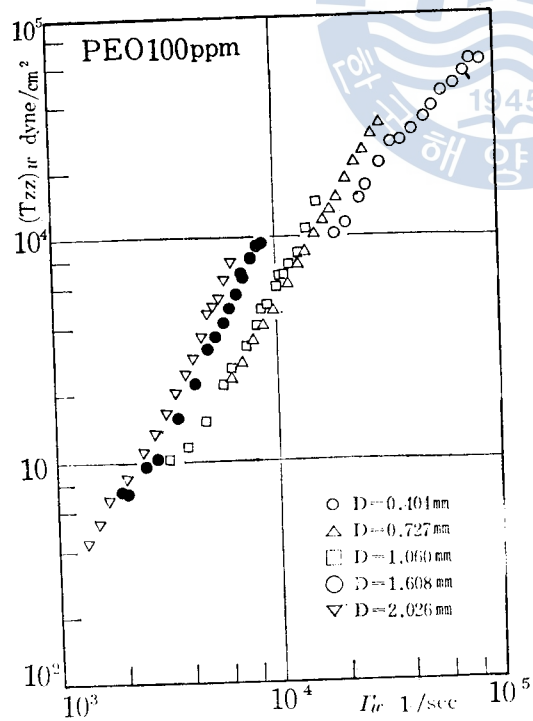
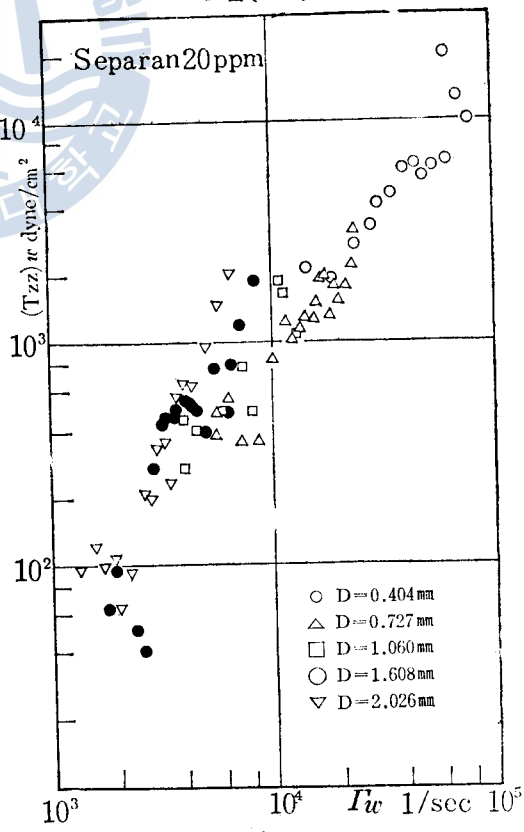
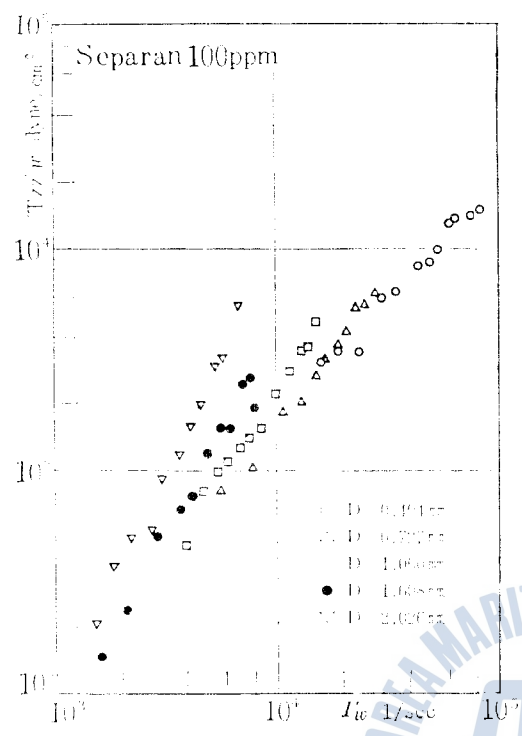


그림 15 PEO 100 ppm

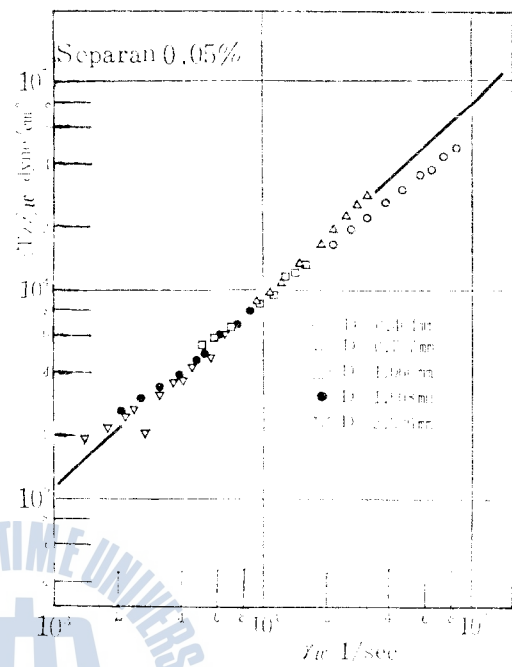
그림(2-17)



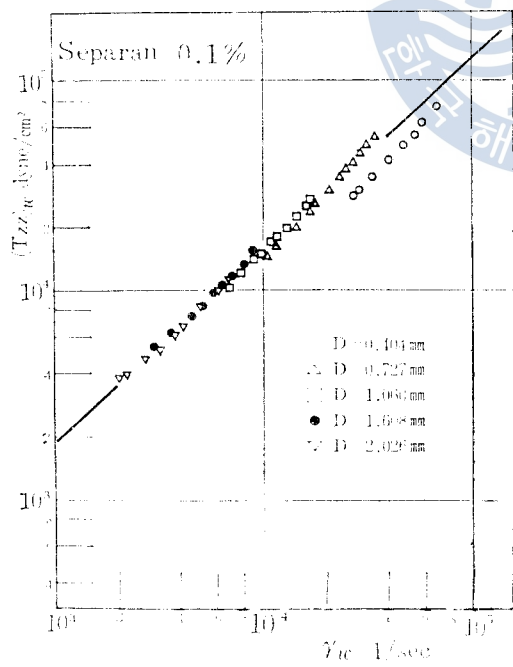
그림(2-18)



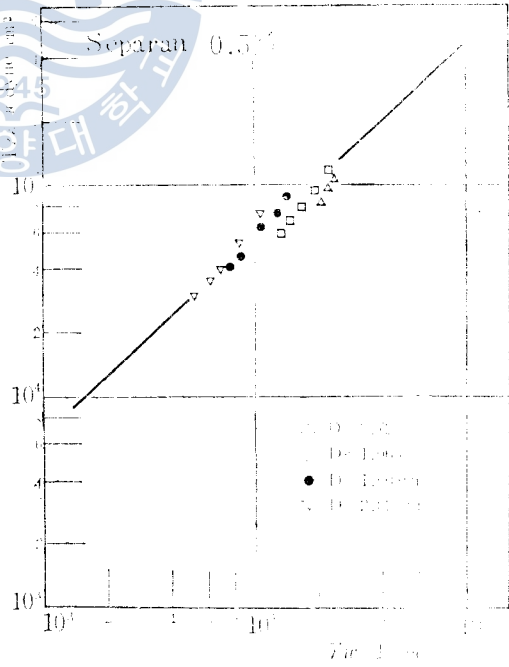
그림(2-19)



그림(2-20)



그림(2-21)



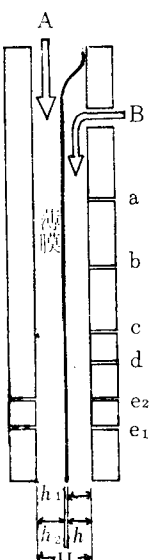
그림(2-22)

第3章 靜壓孔의 示壓에 미치는 影響

3·1 實驗方法 및 原理

粘彈性流體가 靜壓孔에 미치는 影響을 考察하기 위해서는 靜壓孔에 依하지 않고 真의 靜壓을 测定할 수 있는 方法이 가장 바람직하나 그와 같은 方法은 極히 困難하므로 本實驗에서는 平行平板型의 簡單한 Channel을 使用하여서 實驗을 行하였다. 이 Channel은 中間에 薄膜을 붙여서 2種의 液이 2個의 領域으로 同時に 흐르게 되어 있다. 따라서 한쪽 領域에는 舉動이 確實한 물이 흐르게 하고 다른쪽에는 粘彈性流體가 흐르게 하여 그의 舉動을 觀察하였다.

그림(3-1)은 Channel의 略圖이다. A 方向으로부터는 平行平板型 粘度計에 있어서와 같이 粘彈性流體가 壓送되어, 薄膜에 依해 分離된 Channel內의 한쪽의 領域으로 흐르게 된다. 反面에 다른쪽의 領域에는 B 方向으로부터 水道水가 壓送되어서 흐르게 된다. Newton流體에 있어서의 壓力은 靜壓孔을 通하여 测定하여도 正確한 靜壓을 나타내므로, 水道水가 通하는 領域에 對한 흐름의 狀態는 靜壓孔을 通해서 Manometer에 依하여 正確히 把握할 수가 있다. 水道水側의 靜壓孔 a , b , c , d 는 각各 水銀Manometer에 接續되어서 $a-b$, $b-c$, $c-d$ 間의 각各의 差壓이 测定되므로 $a-d$ 間의 壓力勾配分布를 알 수가 있다. e_1 과 e_1' 는 0.5mm 徑, e_2 와 e_2' 는 1.0mm 徑의 靜壓孔으로서 각各 半導體小型壓力變換器에 接續되어서, 增幅器와 電壓計에 依하여 e 와 e' 의 差壓이 测定된다. 여기에서 徑이 다른 두 種類의 靜壓孔을 設置한 것은 靜壓孔의 徑의 크기에 對한 影響을 觀察코자 함이다.



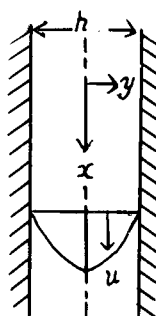
그림(3-1)

本實驗의 原理는 水道水側의 壓力勾配와 流量으로 물이 흐르는 狀態를 調査함으로써 粘彈性流體의 狀態를 알 수 있도록 하는 것이다. 즉 e_1 과 e_1' 및 e_2 와 e_2' 의 각各의 真의 靜壓은 같아야 할 것이다. 故로 e_1 과 e_1' 및 e_2 와 e_2' 에 對한 靜壓의 测定值가 相違하다면, 그 각各의 差壓은 粘彈性流體側의 靜壓孔(e_1 , e_2)에 依한 影響에 起因된 結果라고 할 수 있다. 즉 水道水側의 靜壓孔(e_1 , e_2)에 依한 测定值는 그와

對稱位置의 粘彈性流體의 真의 靜壓을 나타내고 있다. 上記한 本實驗의 概要를 물과 粘彈性流體의 順으로 詳細히 論하기로 한다.

물의 흐름은 그림(3-2)와 같이 平行平板間의 흐름이라고 看做한다. 즉 한쪽은 Channel의 側面이고, 다른 쪽은 薄膜으로서 壁面에相當한다. 이 Channel에 있어서, 高分子溶液과 水道水의 入口로부터 壁孔 e_2 , e_2' 의 入口까지는 流路 두께의 100倍 以上이고, e 의 上流側의 水力勾配線이 直線의이며, 流路 두께에 對한 流路幅은 溶液側에서 約60倍이고 물側에서는 200倍 程度나 되므로 이 흐름은 “2次元 Poiseuille의 흐름”이라고 할 수 있다.

그림(3-2)와 같이, 直角座標系(x , y , z)를 取해서 각各의 速度成分



그림(3-2)



$$\rho \frac{Dv_i}{Dt} = \rho \cdot K_i + \frac{\partial T_{ji}}{\partial x_i} \quad \dots \dots \dots \quad (3-11)$$

를 $i=1$, 즉 x 方向에 대하여考慮하면

$$0 = -\frac{\partial p}{\partial x} + \rho g + \frac{\partial T_{yx}}{\partial y} \quad \dots \dots \dots \quad (3-12)$$

但 P 는 等方性壓力이다. 따라서 式(3-8)과 式(3-12)로부터

를 얻는다. 또한 上式을 積分하면

로 되다. 여기서 流量을 Q_v 라 하면, 單位幅當의 流量 Q_v/b 는,

가 된다. 式(3-15)를, 境界條件 $y=h_2/2$ 에서 $u=0$ 임을 適用하여 部分積分해서, 式(3-14)를 代入하여 變數를 y 로부터 τ_{xy} 로 變換하면

$$-\frac{Q_v}{b} = -\frac{h_2^2}{2\tau_{xy}^2} \int_0^{t_w} \tau_{xy} \left[\frac{du(y)}{dy} \right]_{\tau_{xy}} \cdot d\tau_{xy} \quad \dots \dots \dots \quad (3-16)$$

를 얻으면 $Q = b \cdot h \cdot V$ (V 는 평균流速)의關係를 대입해서 式(3-16)의兩邊을 τ_w 로 微分하면

로 된다. 여기서 置乘則이 成立한다고 假定하면

가 된다. 式(3-18')에 있어서, m 는 摩塑性粘度이며 n 는 罢指數이다.

또한, 품면에 있어서의 흡착성剪斷速度 Γ_w 는 式(3-5)를 y 로 微分해서, $y=h_2/2$ 를 代入하면

그림 3-18은 式(3-18')의 關係를 式(3-17)에 代入하면, 壁面에 있어서의 真의剪斷速度 v_w 는

$$\gamma_w = \frac{2n+1}{2n} \cdot \frac{6V}{b} = \frac{2n+1}{2n} \Gamma_w \quad \dots \dots \dots \quad (3-20)$$

이 된다. 또한 3 次元 흐름에 있어서의 一般 Reynold 數는

이므로 式(3-14')를 본데 R^* 가 구하여진다.

本實驗에서 採用한 流路는 以上과 같이 물과 粘彈性流體가 隣接하여 同時に 흐르기 때문에, 二者間에는 다음과 같은 關係가 成立한다.

但, h_1 은薄膜의 두께로서 본실험에서는 1/100mm이다. Q_T 는全流量으로서重量流量法에依據하니 유리된다.

以上과 같이 하여 式(3-14')로부터 τ_w , 式(3-19)로부터 I_w 를 알 수 있으며, 式(3-18')에서 알 수 있는듯이, $\log \tau_w$ 對 $\log I_w$ 의 Graph를 그려면 그勾配로부터 幕指數 n 을 求할 수 있고, 또한 式(3-20)으로부터 γ_w 를 알 수 있다.

以上을 依해서 水道水 壓 粘彈性流體의 穀音의 狀態가 把握될 수 있으므로, 다음으로 靜壓孔의 影響에 依한 水壓의 誤差의 測定에 關하여 檢討하기로 하자.

流路內의 薄膜은 두께 1/100mm의 極히 薄은 Vinyl Film으로서, 그의 剛性에 依한 影響은 無
親疊 수 있다. 本道水側 및 粘彈性流體側의 Channel側面의 對稱한 位置에 設置된
靜壓孔, 即 c_1 과 c'_1 , 及 e_2 와 e'_2 에 있어서, 側面에 垂直한 方向의 離力에 關한 고려가 필요하다.

Cauchy의 운동 方程式

에 關해서 이전 $i=2$, 즉 y 方向에 對해서 生観理叶. 流體의 흐름은 x 方向의 發達된 2次元定常流라고 看做할 수 있으므로,

$$v=w=0, \quad \frac{\partial}{\partial x} = \frac{\partial}{\partial z} = \frac{\partial}{\partial t} = 0 \quad \dots \dots \dots \quad (3-25)$$

가 되며, 또한 y 방향에 외력이 작용하지 않는다면 $K_2 = 0$ 이 된다. 따라서 式(3-24)는

式(3-27)은, 2次元定常流에 있어서 어떤 固定位置 x 를 取하면 그 곳에 있어서의 y 方向의 應力은 一定値가 成은 나타내고 있다. 換言하면 膜을 中間에 끼우고 向해 있는 壁面의 靜壓孔 e_1 과 e_1' 및 e_2 와 e_2' 에, 實際로는 각各同一한 크기의 應力이 加해지고 있다. 따라서 x 軸에 關해서 對稱한 position에 設置된 靜壓孔 e_1 과 e_1' 그리고 e_2 와 e_2' 에 있어서의 真의 靜壓은 각各同一值가 된다. 此의 靜壓孔들로부터 應答이 빠른 半導體小型壓力變換器로써 그 곳에 있어서의 각各의 壓力を 測定한다. 壁孔의 狀態는 兩方의 流路에 水道水를 通했을 때 e 側과 e' 側에서 測定한 壓力에 差가 全然 나타나지 않았던 結果로 由此 正確한 測定을 行할 수 있는 狀態에 있음을 알 수 있다.

따라서 만약에 물側과 粘彈性流體側에서 測定한 靜壓值에 差異가 있다면, 그것은 粘彈性流體에 있어서의 靜壓孔의 影響에 依한 結果라고 할 수 있다.

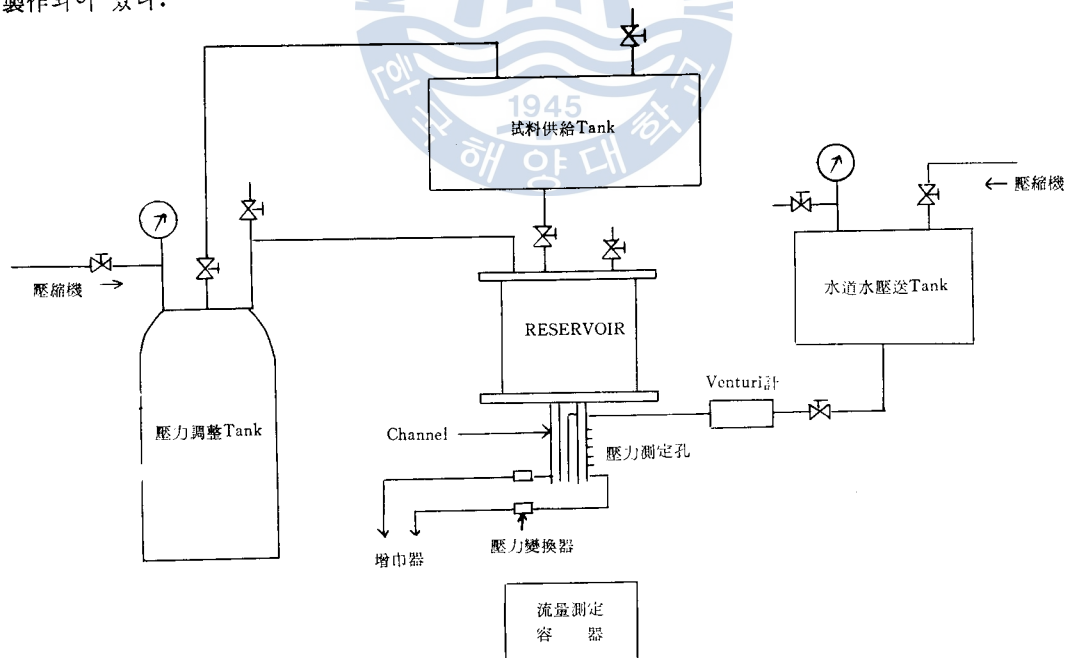
3.2 實驗裝置

實驗裝置 全體의 略圖를 그림(3-4)에, Channel의 說明圖를 그림(3-5)에, 그리고 寫眞을 그림(3-6) 및 그림(3-7)에 圖示하였다.

이裝置는 壓力調整 Tank, Reservoir, Channel, Venturi計, 全流量測定容器, 傾斜水銀差壓式 Manometer, 水道水壓送 Tank, 試料供給 Tank로 構成되어 있다. Reservoir는 圓筒型으로서 그의

下面에 Channel이 取付되어 있다. 裝置의 主要部는 Channel部로서 이 곳으로 水道水와 粘彈性流體가 供給된다. 먼저 水道水는 一但 水道水壓送 Tank에 貯藏되어 所定의 壓力으로 加壓된 後에 Venturi計를 通해서 Channel內의 一侧으로 흐른다. 이때 Venturi計에 依해서 水道水의 流量 Q_w 가 測定된다. 한편 粘彈性流體는 充分히 溶解된 後에 試料供給 Tank에 貯藏되었다가 Reservior로 供給된 後, 그곳에서 適當히 加壓되어서 그의 下部에 取付되어 있는 Channel의 他側으로 흐르게 된다. Channel内部에는, 薄膜이 붙어 있어서 水道水와 溶液이 分離되어 흐르도록 되어있다. 그래서 Channel을 훌러나오는 水道水와 溶液은 그 밑에 位置한 流量測定用의 容器와 重量計에 依해서 全流量 Q_t 가 測定된다. 壓力調整 Tank는 比較的 큰 것을 使用해서 實驗中의 壓力下降를 防止했다.

Channel은 平行平板으로서 流動狀態가 觀察되도록 本體는 2枚의 透明한 Acrylite板을 使用하고 있다. 本體인 2枚의 長方形인 Acrylite板의 兩・側端에는 두께 1mm의 黃銅板을 사이에 끼우고 Bolt와 Nut로 固定해서 製作한 것이다. 따라서 流路의 斷面形狀은 長方形으로서 두께(H)는 1mm, 幅(b)는 50mm이다. 또한, Channel内部에는 그의 上端이 固定된 薄膜(두께 1/100mm인 Vynil Film)이 있어서 Channel內에서 水道水와 溶液이 이 膜의 兩側에 각各 區分되어서 同時에 흐르도록 되어 있다. Channel側面에는 數個의 靜壓孔이 開려 있다. 즉 水道水側에는 中心線上에 4個의 靜壓孔(直徑 0.5mm)이 開려 있으며 각各 水銀 Manometer에 接續되어 있는데, 이 것에 依해서 流動方向의 壓力勾配를 알 수가 있다. 또한 그 下方에는 直徑 1.0mm 및 0.5mm의 靜壓孔(e_1, e_2)이 있으며, 溶液側에도 그들과 對稱한 位置에 그와 同一徑의 靜壓孔(e'_1, e'_2)이 開려 있는데, 半導體小型壓力變換器에 각各 接續되어서 增幅器를 通하여 靜壓이 測定되도록 製作되어 있다.

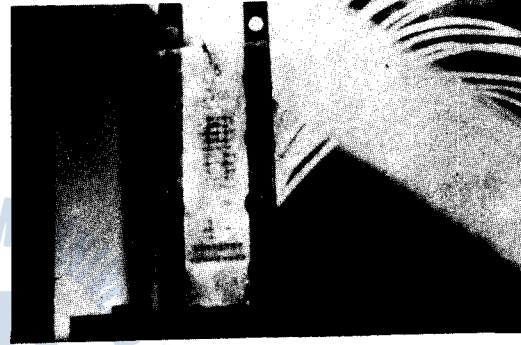
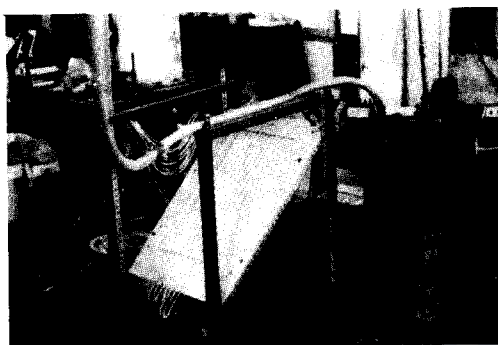
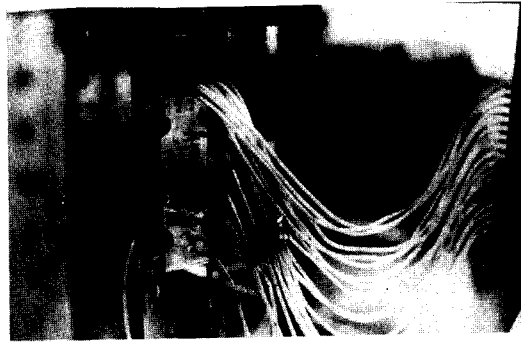


그림(3-4) 實驗裝置略圖



그림 3-5 선체 구조 [1]

©Collection



그림(3-6) 裝置全景

그림(3-7) Channel

3.3 實驗結果與考察

그림(3-8)부터 그림(3-14)까지가 Channel의 實驗結果를 Graph에 表示한 것이다. 그림(3-8)은
水道水의 流動狀態를 4 個의 靜壓孔 a, b, c, d 에서 測定한 것으로서 壓力勾配는 直線임을 알 수
있다. 여기에서 直線이 4 個로 區分되어 있는 것은 剪斷速度를 Parameter로 하여 4 個의 境遇에
對해서 나타내고 있기 때문이다. 또한 이것은 Separan 0.5%의 境遇로서 0.1%, 0.05%의 境遇
에도 同一하기 때문에 省略했다. 이 Graph에 있어서 壓力勾配 $(-\frac{dP}{dx} + \rho g)$ 가 直線으로 나타나
고 있음은 位置 x 에 關係없이 壓力勾配가 一定值로 되는 것을 보여 주고 있는 것이다. 따라서
式(3-6)으로 부터 水道水의 흐름의 두께 h 가 求해진다.

즉, 式(3-6)인

$$h = \sqrt{\frac{12\eta Q_w}{b} \cdot \frac{1}{\left(-\frac{dP}{dx} + \rho g\right)}} \quad \dots \dots \dots \quad (3-28)$$

가 된다. 式(3-28)에 依하면 h 가 位置 x 에 關係 없이 一定値가 된다는 것을 알 수 있다.

즉, 흐름이 平行平板흐름이라고 假定하였던 事實을 滿足시키고 있음을 알 수 있다.

그림(3-9)~그림(3-11)은, 溶液의 濃度別로, $\Gamma_w \sim \tau_w$ 를 兩對數 Graph에 圖示한 것이다. 따라

서, 式(3-18')의 積乘則 및 式(3-20)으로 부터

이므로, 式(3-29)로부터 直線의 기울기는 幕指數 n 를 表示하는 것으로 된다.

各濃度에對한 n 의 값은 다음의 表 (3-1)과 같다.

溶液 條 濃 度		羅 指 數 <i>n</i>
Separan	0.05 %	0.922
Separan	0.1 %	0.919
Separan	0.5 %	0.608

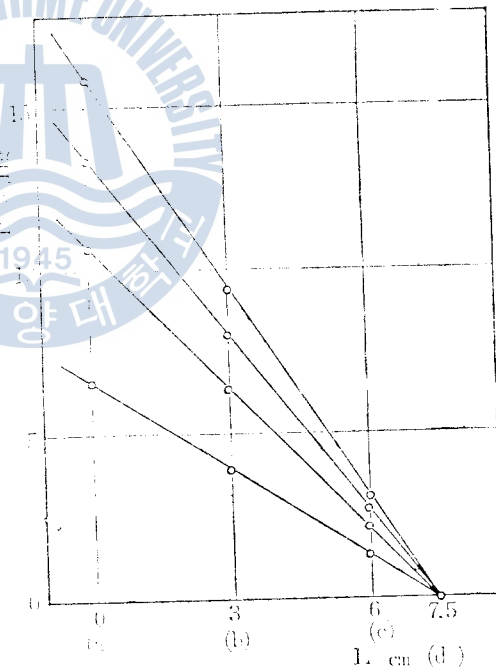
表(3-1)

그림(3-12)~그림(3-14)는 橫軸에
眞의 壓面切斷速度 γ_w (1/s), 縱軸에
靜壓孔의 影響에 依한 差壓 ΔP
 (dyne/cm^2) 을 溶液의 濃度別로 兩對
數 Graphic에 計示한 것이다. 但 ΔP 는
다음과 같다.

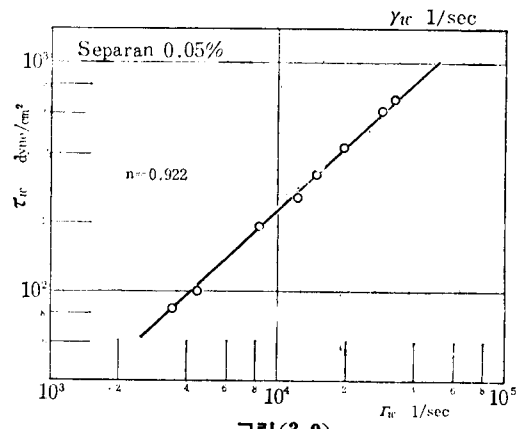
ΔP = (粘彈性流體側에서 测定된 靜
壓值) - (真의 靜壓值)
真의 靜壓值与水側에서 测定된 靜
壓值

等, - JP 在 本實驗의 目的인 靜壓孔에 係於 影響의 量이 된다. 上記한 Graph寄三率圖 能 수 있는 事項은
其是均為確切.

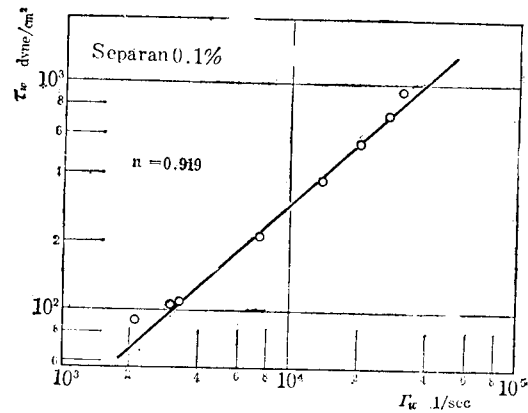
- (1) 特定濃度의 溶液쪽이 $-4P$ 가 되면,
 - (2) $-4P$ 는 剪斷速度가 증수할 때 增加한다.
 - (3) 測定直線이一直線上에 있다고
看做れば, 速率式이 成立한다.
 $-4P \propto t^q$, ($q > 0$)(3-30)
 - (4) $-4P$ 는 直徑 0.5mm인 靜壓孔
側의 1.0mm인 鮑壓孔側보다
50% 더 높다. 나아내다.



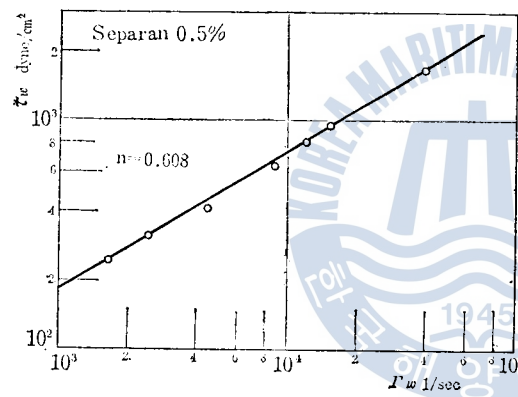
그림(3-8) 水力勾配線



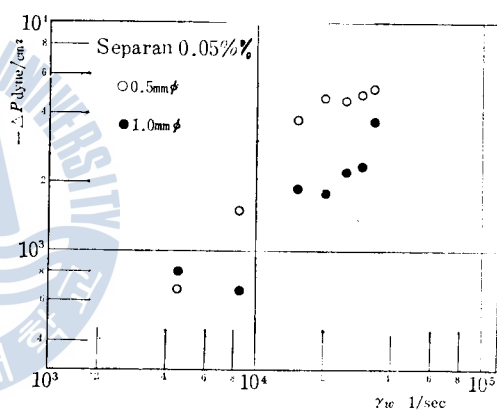
그림(3-9)



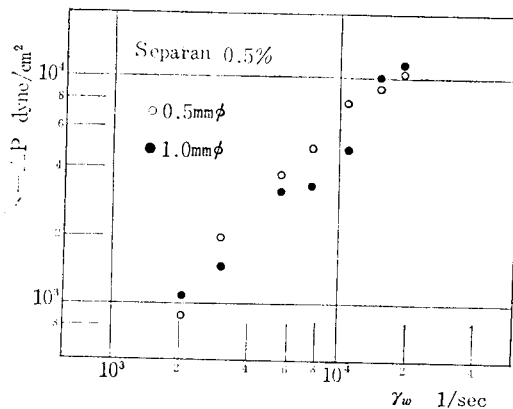
그림(3-10)



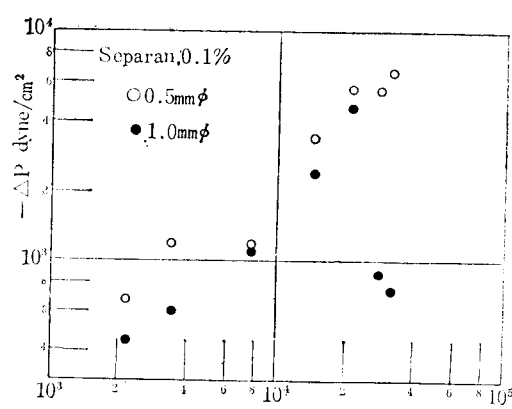
그림(3-11)



그림(3-12)



그림(3-13)



그림(3-14)

第4章 調察與結論

4.1 國際法規

4.1.1 心線性水印：概念、論點、本質

心線性水印 (Tangle watermark) 是一種隱藏在 PDF 檔案中 (或稱為 Tangle) 的二維圖形，其內容是將文字或圖像隱藏在多個不同位置的複雜網狀結構中。Tangle 是由一小段線性資料（會被拉長或扭曲）所構成的，這些線性資料會被編碼成一個或數個二維圖形，並隱藏在 PDF 檔案中。

根據 ISO/IEC 29192-1《電子文件和傳輸—PDF 檔案—第 1 部分：標識符》(ISO/IEC 29192-1:2017) 定義：

4.1.2 心線性水印：定義

心線性水印 (Tangle watermark)：隱藏在 PDF 檔案中的一種水印。

心線性水印是由多條二維線條 (Square tangle) 組成，心線性水印的識別範例為：將多條二維線條以不同角度、順序、密度、粗細、顏色等不同方式複雜地交織在一起。

心線性水印的特點：心線性水印是由多條二維線條以不同角度、順序、密度、粗細、顏色等不同方式複雜地交織在一起，因此心線性水印的識別方法為：根據其複雜的線條結構，並結合其在 PDF 檔案中的位置，來判斷其是否為心線性水印。心線性水印的識別方法為：根據其複雜的線條結構，並結合其在 PDF 檔案中的位置，來判斷其是否為心線性水印。

4.1.3 國際法規：對此項技術的相關規定

國際上對此項技術的相關規定為：ISO/IEC 29192-1《電子文件和傳輸—PDF 檔案—第 1 部分：標識符》(ISO/IEC 29192-1:2017)。

4.1.4 國際法規：對此項技術的相關規定

國際上對此項技術的相關規定為：ISO/IEC 29192-1《電子文件和傳輸—PDF 檔案—第 1 部分：標識符》(ISO/IEC 29192-1:2017)。

4.1.5 國際法規：對此項技術的相關規定

國際上對此項技術的相關規定為：ISO/IEC 29192-1《電子文件和傳輸—PDF 檔案—第 1 部分：標識符》(ISO/IEC 29192-1:2017)。

4.1.6 國際法規：對此項技術的相關規定

國際上對此項技術的相關規定為：ISO/IEC 29192-1《電子文件和傳輸—PDF 檔案—第 1 部分：標識符》(ISO/IEC 29192-1:2017)。

4.1.7 國際法規：對此項技術的相關規定

國際上對此項技術的相關規定為：ISO/IEC 29192-1《電子文件和傳輸—PDF 檔案—第 1 部分：標識符》(ISO/IEC 29192-1:2017)。

表 4-1

表(4-1)에서 보는 바와 같이 比例定數 c 의 값은 매우 비슷한 값으로 나타났다. Graph의 测定点은 多少 험어져 있기 때문에, c 의 값도多少 變할 수 있다고 考慮해서 Separan에 對해서는 다음과 같이 決定해도 좋을 것이다. 즉,

式(4-2)는 Separan의 3種類의 濃度(0.05%, 0.1%, 0.5%)의 溶液에 對해서 成立하는 式이지만 여러溶液에 對해서 實驗을 行하면, 式(4-2)와 같은 比例關係가 各溶液에 關해서도 成立될 수 있다고 본다.

여기서 從來의 研究結果인 K. Higashitani의 理論解析의 結果와 比較檢討 하여 본다.

Higashitani에 依한 理論의 大要是 다음과 같다. 靜壓孔에 있어서의 흐름이 球面上으로 흘러 들어가는 흐름이라고 假定해서, 運動方程式을 풀어서 다음의 式을 調算하였다.

여기서 ΔP 는 靜壓孔에 依한 影響의 差壓量으로서, α 와 β 는 다음 式을 滿足하다.

$$\tau_{xx} - \tau_{yy} \propto \tau_{yz}^{\alpha}$$

$$\tau_{yy} - \tau_{zz} \propto \tau_{yx}^{\beta}$$

여기서 座標系 (x, y, z) 는 本實驗의 細管에 依한 法線應力의 測定에서 表示한 圓筒座標系 (γ, θ, z) 와는, $x \rightarrow z$, $y \rightarrow \gamma$, $z \rightarrow \theta$ 의 方向에 各各 對應한다. 즉, $\tau_{yx} = \tau_{rz}$, $\tau_{xx} = \tau_{zz}$, $\tau_{yy} = \tau_{rr}$, $\tau_{zz} = \tau_{\theta\theta}$ 이다.

第2法線應力差($\tau_{yy} - \tau_{zz}$)는, 第1法線應力差($\tau_{xx} - \tau_{yy}$)와 比較하면 微小하므로(約 10% 程度) 그것을 無視하면 式(4-3)은 다음과 같이 된다.

즉, 本實驗結果로부터 誘導한 式(4-1)의 比例定數 c 가 式(4-4)의 $\frac{1}{3\alpha}$ 에相當한다.

또한, α 는 다음과 같이 해서 구할 수 있다.

$$(\tau_{xx} - \tau_{yy})_w \propto \gamma_w^{-k}$$

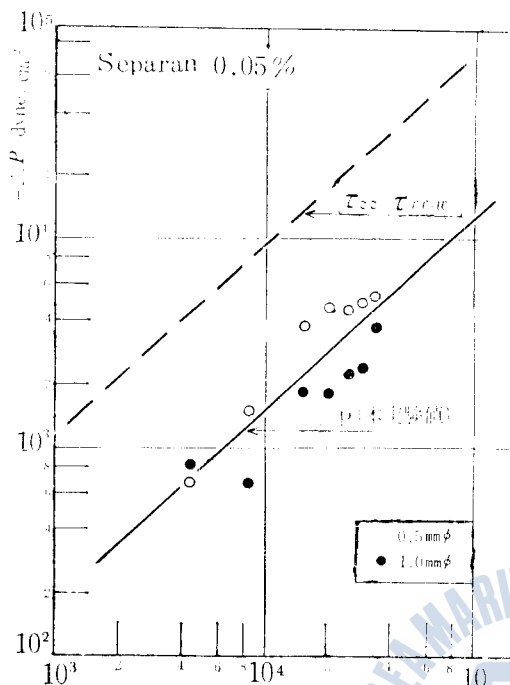
$$\tau_w [= (\tau_{yx})_w] = m \gamma_w^n$$

$$(\tau_{xx} - \tau_{yy})_w \propto \tau_{wk}^n \dots$$

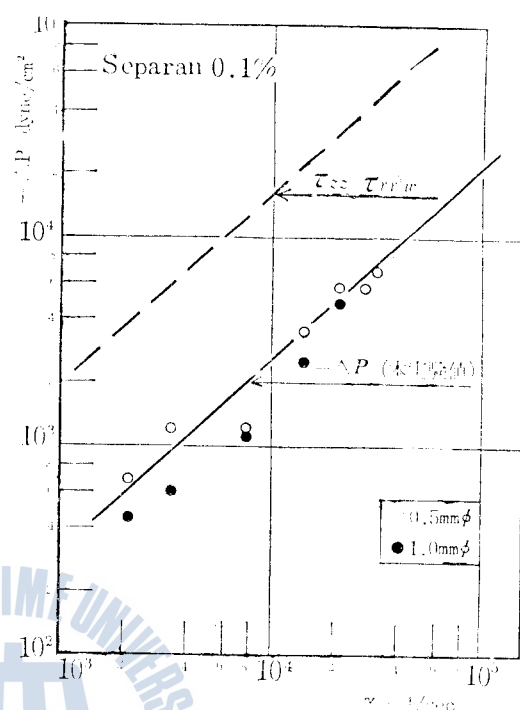
k 는 表(2-1)에, 幕指數 n 는 表(3-1)에 각각 表示되어 있으므로 式(4-6)로 부터 a 를 求할 수 있다. 그래서 그 值을 式(4-4)에 代入해서 求한 ΔP 를 点線으로서, 그림(4-1)~그림(4-3)에 同時에 表示하였다.

濃度	k	n	$\alpha = \left(\frac{k}{n}\right)$	$\frac{1}{3\alpha}$
0.05%	0.909	0.922	0.986	0.338
0.1%	0.906	0.919	0.986	0.338
0.5%	0.919	0.608	1.498	0.222

卷(4~2)



그림(4-1)



그림(4-2)

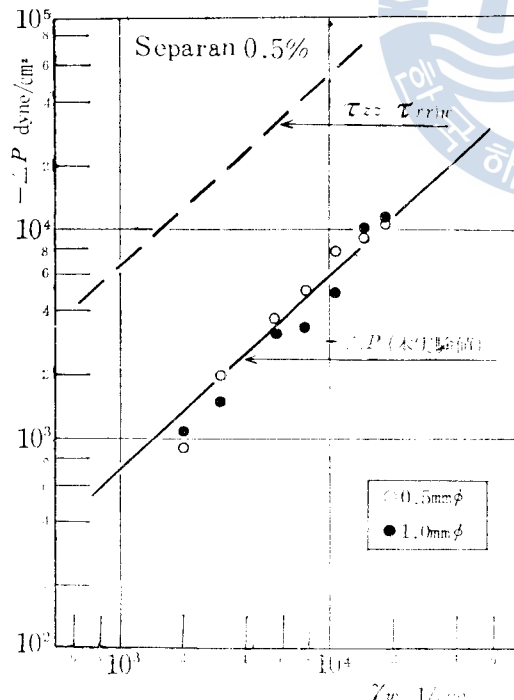
즉, Higashitani의 式에 依한 結果는, 各 濃度에 對해서 어느 것에서나 $-ΔP$ 의 値은 本 實驗에서 求한 差壓 $-ΔP$ 보다도 大きい 것이다.

最後로, 靜壓孔의 徑의大小가 미치는 影響을 考慮하면, 本 實驗의 結果에 依하면 大徑側($1.0\text{mm}\phi$)의 $-ΔP$ 가 小徑側($0.5\text{mm}\phi$)보다 적게 나타났으나 確實한 結果는 알 수 없다.

以上과 같이 粘弹性流體가 靜壓孔에 미치는 影響의 原因으로서 重要한 性質을 갖는 弹性力에 着眼해서 考慮하여 왔으나, 粘弹性流體가 지닌 特異한 性質等에 依한 影響을 考慮할 必要가 있을 것이다.

4·2 結論

(1) 粘弹性流體의 法線應力測定用의 新型裝置를 考案 開發하여 그 裝置에 依해서 各種類의 高分子溶液의 法線應力を 測定하였다. 그 結果, 比較的 高은 濃度의 溶液에 對해서



그림(4-3)

는 法線應力이 別 問題없이 測定되었으나, ppm order인 大端히 稀薄한 溶液의 境遇에는 管徑의 差異에 따라서 實驗値가 相違하게 되는 異常現象이 나타났다. 이러한 現象의 原因은 現段階로서는 明確하게 紋明하기 困難하나, 今後 檢討하고자 한다.

(2) 粘彈性流體의 靜壓을 壁面의 靜壓孔에 依해서 測定할 때 나타나는 示壓誤差를 實驗的으로 檢討했다. 즉, 靜壓孔이 示壓에 미치는 影響을 檢出하는 裝置를 製作해서, Separan의 0.05 %, 0.1% 및 0.5%의 各 水溶液을 使用하여 實驗을 行한 結果, 靜壓孔에 依한 示壓은 真의 靜壓보다 水頭 10cm 以上이나 낮다는 事實을 알 수 있었다. 또한 第2章의 法線應力測定裝置에 依하여 測定한 法線應力差와 聯關시켜 實驗値를 整理해서, 粘彈性流體의 靜壓孔에 依한 示壓誤差 $-AP$ 와 第1法線應力差 $(\tau_{zz} - \tau_{yy})_w$ 間에는,

$$-AP = 0.15(\tau_{zz} - \tau_{yy})_w$$

인 關係가 成立함을 結論지어서, 從來의 理論과 比較檢討 하였다.

參 考 文 獻

1. D.R. Oliver, Canadian J. Chemical Engineering, April(1966), 100 "Thd Expansion and Contraction Behavier of Laminar Liquid Jets"
2. J.C. Slattery and W.R. Schowalter, J. Applied Polymer Science, Vol.8(1964), 1941 "Effect of Surface Tension in the Measurement of the Average Normal Stress at the Exit of a Capillary Tube through an Analysis of the Capillary Jet"
3. A. Kaye, A.S. Lodge and D.G. Vale, Phologica Acta, 7(1968), 368 "Determination of Normal Stress Differences in Steady Shear Flow"
4. W.G. Pritchard, Rheologica Acta, 9(1970), 200 The measurment of normal stresses by means of liquid-filled holes in a surface"
5. J.M. Broadbent, A. Kaye, A.S. Lodge and D.J. Vale, Nature, Vol.217, Jan.(1968), 55 "Possible systematic Errors in the Measurement of Normal Stress Differences in Polymer Solutions in Steady Shear Flow"
6. R.I. Tanner and A.C. Pipkin, Trans. of the Society of Rheology, 13(1969), 471 "Intrinsic Errors in Pressure-Hole Measurement"
7. K. Higashitani and W.G. Pritchard Unpublished. "A kinematic calculation of intrinsic errors in pressure measurements made wth holes"
8. 長谷川, 學位論文, 東京工業大學, 1971. "稀薄高分子溶液の管内流れにおける異常現象に関する研究"
9. 富田, 長谷川, 金, 日本機械學會講演論文集 720-17(1972), 127.
"粘彈性流體の壓力測定用壁孔の示壓に 及ぼす影響"(第1報)
10. 富田, 長谷川, 金, 日本機械學會講演論文集 730-6(1973), 171.
"高分子溶液の管内流れにおけるの軸方向法線應力の測定"
11. 富田, 長谷川, 金, 日本機械學會講演論文集 734-5(1973), 58.
"粘彈性流體の壓力測定用壁孔の示壓に 及ぼす影響"(第2報)
12. Lawrence E. Nielson, "Mechanical Properties of Polymers", (1962) Reinhold Publishing Corp., New-York.
13. W.L. Wilkinson, "Non-Newtonian Fluids", (1960) Pergamon Press.
14. B.D. Coleman, H. Markovitz, W. Noll, "Viscometric Flows of Non-Newtonian Fluids", (1966) Springer-Verlag New-York Inc.
15. Stanley Middleman, "The Flow of High Polymers", (1968) Interscience Publishers
16. 富田幸雄, "流體力學序論"(1971), 養賢堂
17. 円生慶四郎, "流體物理學"(1971), 朝倉書店